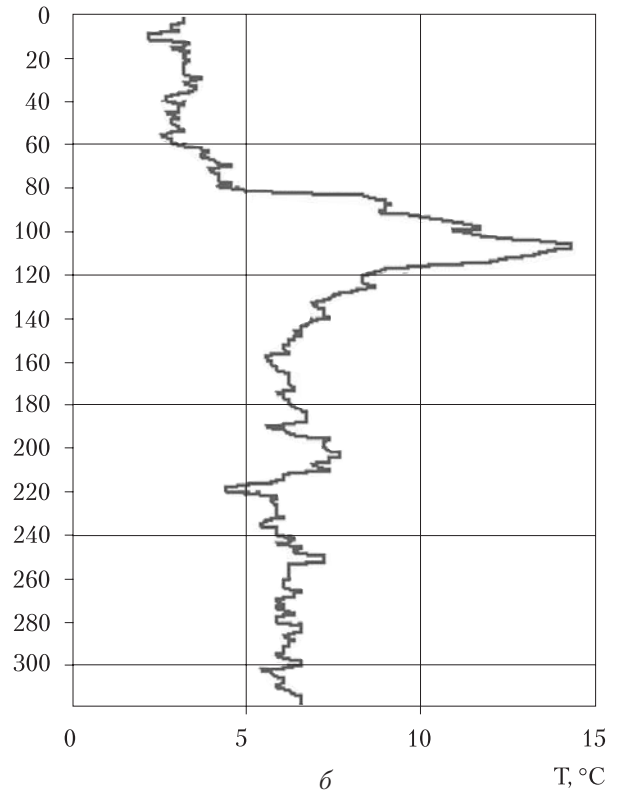
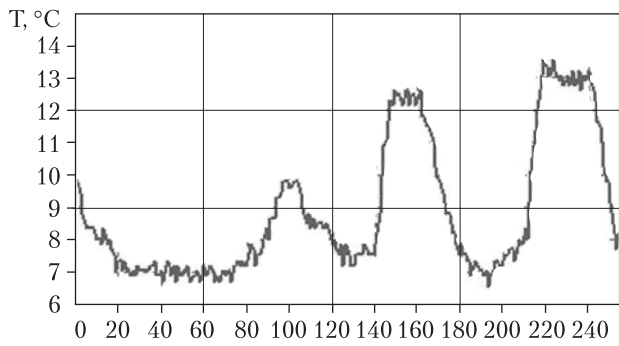


a



б

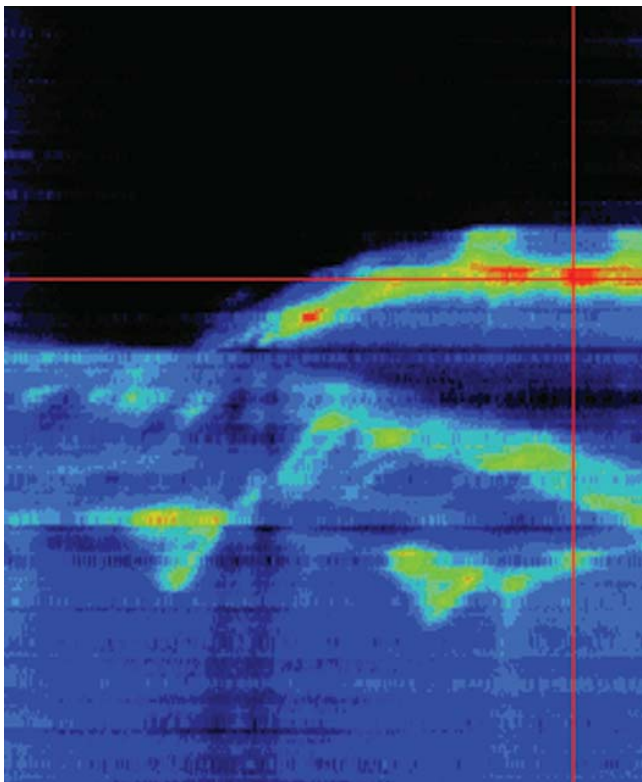


в

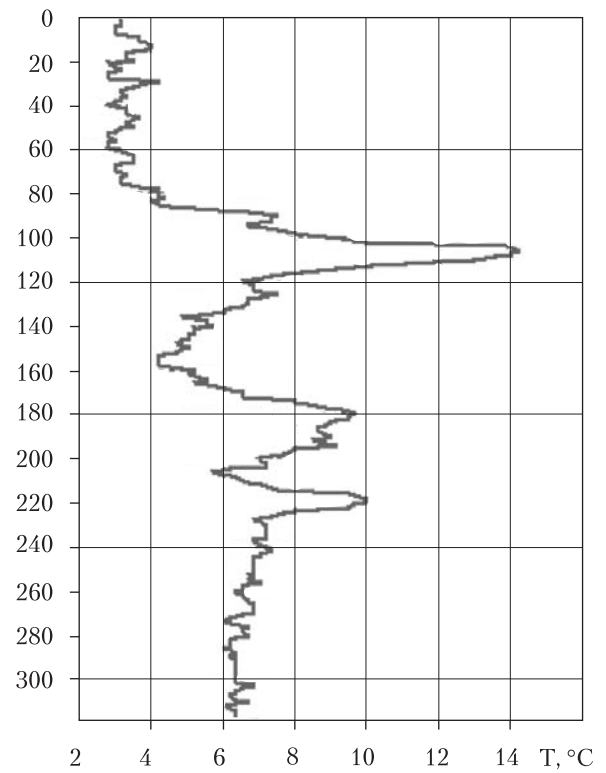


г

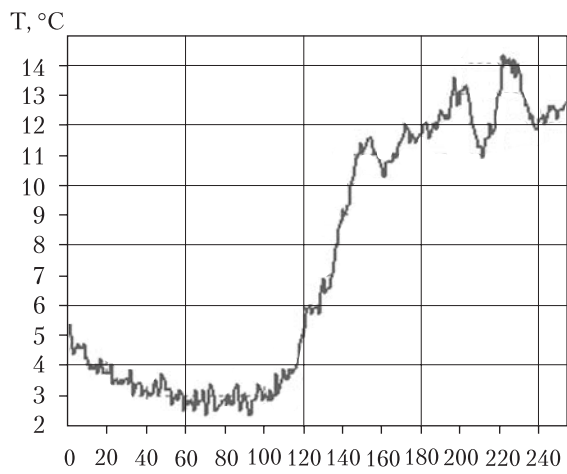
Рис. 1. Приклад термограми фрагменту будівлі Міжнародного виставкового центру (*a*), розподіл температури уздовж вертикальної лінії (*б*), розподіл температури уздовж горизонтальної лінії (*в*), фотографія фрагменту будівлі у видимому діапазоні (*г*)



a



б

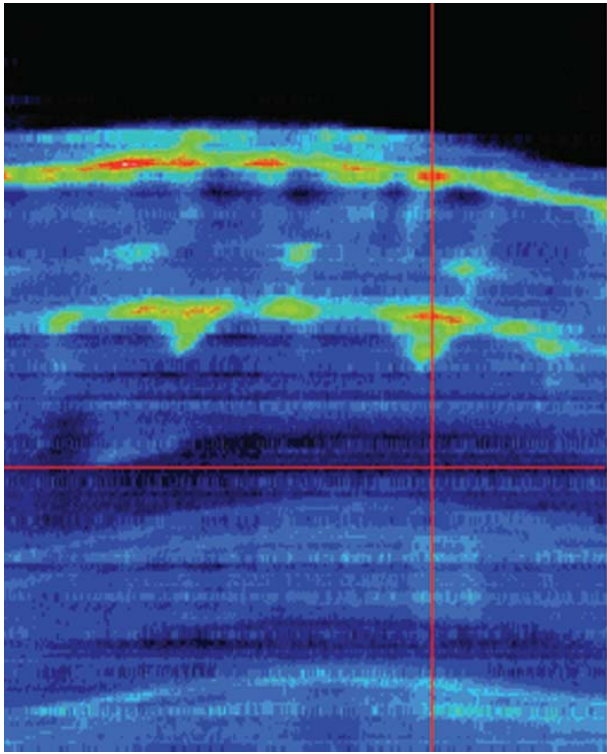


в

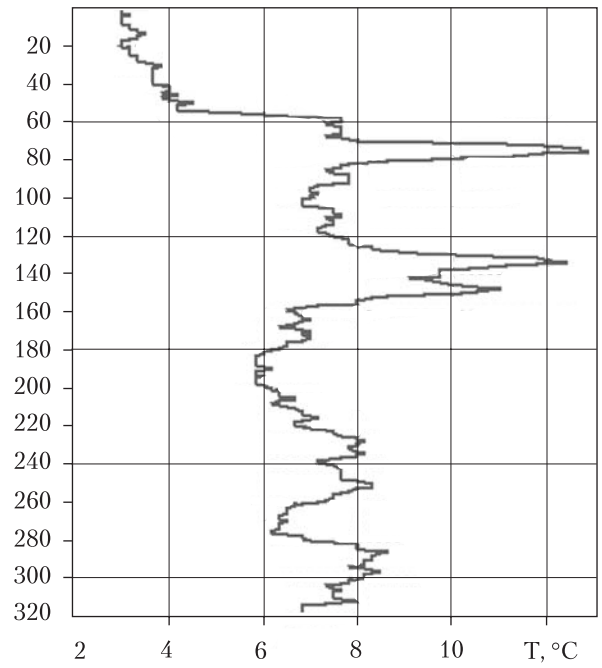


г

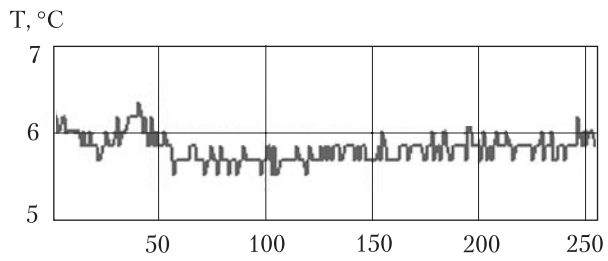
Рис. 2. Приклад термограми фрагменту будівлі Міжнародного виставкового центру (*a*), розподіл температури уздовж вертикальної лінії (*б*), розподіл температури уздовж горизонтальної лінії (*в*), фотографія фрагменту будівлі у видимому діапазоні (*г*)



a



б



в



г

Рис. 3. Приклад термограми фрагменту будівлі Міжнародного виставкового центру (*a*), розподіл температури уздовж вертикальної лінії (*б*), розподіл температури уздовж горизонтальної лінії (*в*), фотографія фрагменту будівлі у видимому діапазоні (*г*)

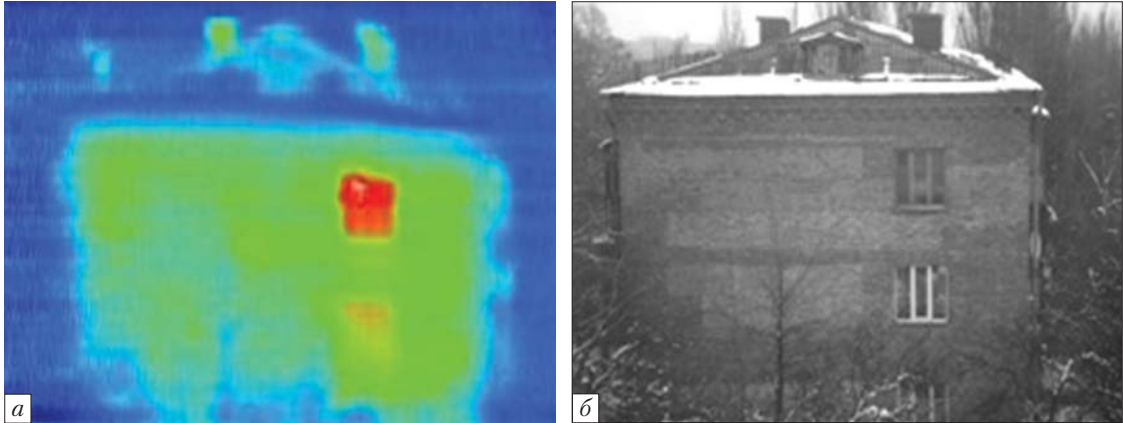


Рис. 4. Фрагмент будинку з вікном старого зразка та склопакетом: термограма (а) та фотографія у видимому діапазоні спектру (б)

ВКЛЕЙКА ДО СТ. І.М. НЕКЛЮДОВА ТА ІН.

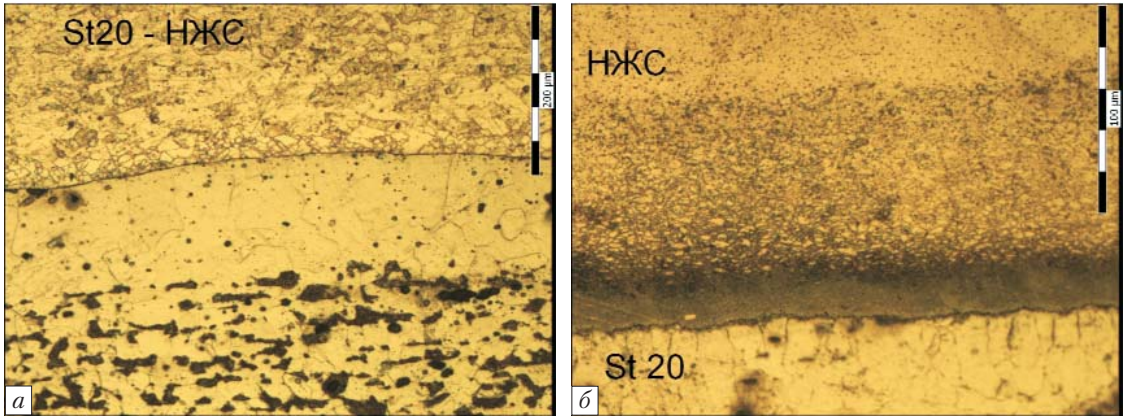


Рис. 2. Межа з'єднання складових композиту *сталь 20—сталь 12Х18Н10Т* (HЖС): а — після прокатки ($\times 200$); б — після відпалу при 500 °С тривалістю 50 год ($\times 500$)

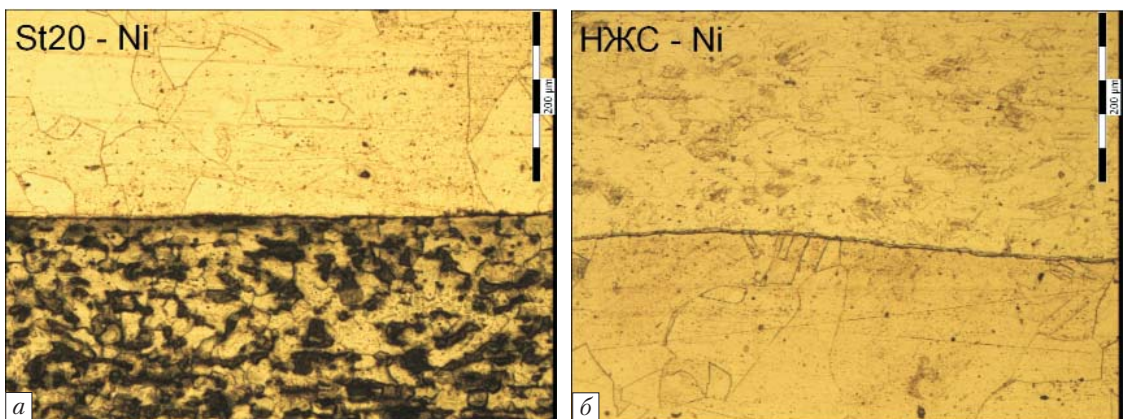


Рис. 3. Межа з'єднання композиту *сталь 20—нікель—сталь 12Х18Н10Т* (HЖС) після прокатки та відпалу при 500 °С тривалістю 50 год ($\times 200$): а — межа сталі 20 з нікелем; б — межа сталі 12Х18Н10Т (HЖС) з нікелем